

2.3.5. Спин ядра «электрона»

Ибо Ты, Б-ЖЕ, Услышал
обеты мои, и дал наследие
боящихся Имени ТВОЕГО
Тег'илим (Псалтирь) 60:6

Текст ТОРЫ содержит 5845 пасуков (стихов). На момент написания этих строк по еврейскому летоисчислению 5769 год от дня рождения Адама Ришона. Нашей планете осталось сделать 76 оборотов вокруг своей оси до наступления великого Эрев Шаббат (т. е. Вечера накануне Великой Субботы).

Внутренняя ТОРА учит, что процесс вращения каждой живой сущности повторяет, в том или ином аспекте, спиральный алгоритм «Раскрытия» неизносимого Имени ТВОРЦА (см. п. 0.31.1 в [7]). Так же как и циклические коды формирования Бытия, ядро «электрона», планета или замкнутая Вселенная никогда не делают ни одного совершенно одинакового оборота вокруг своих осей вращения, так как эти оси постоянно меняют свою ориентацию в пространстве по очень сложному Запрограммированному алгоритму. Каждый оборот живых шароподобных тел соответствует определенной вехе развития, как окружающей их реальности, так и плода созревающего в их недрах.

Если абстрагироваться от сложнейших спиральных алгоритмов раскрытия и формирования внутреннего существования локальных вакуумных образований, то с точки зрения внешнего, непосвященного в глубинную суть явлений, наблюдателя поведение такой сущности выглядит как случайно блуждающий, клокочущий комок материи с хаотически изменяющимся направлением оси вращения (см. рис. 2.3.8).

Представьте, что все действия человека снимали на киноплёнку в течение целого года, а затем прокрутили эту плёнку в течение 30 минут. В этом случае на экране увидим не чело-

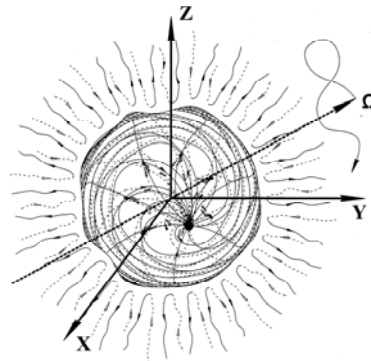


Рис. 2.3.8. Вращение ядра «электрона» имеет две составляющие:

- детерминированное (постоянное) вращение вокруг некоей единой оси;
- хаотическое изменение направления (т. е. вращение) самой этой оси

века, а случайно блуждающий, клокочущий, вращающийся «шар» с хаотично меняющейся осью собственного вращения и хаотично мечущийся в области его обитания. Если человек правша, то он, в основном, тянется за правой рукой, поэтому такой «шар» будет в среднем вращаться против часовой стрелки. Левша будет выглядеть как шар с усредненным собственным вращением по часовой стрелке. В этом смысле усредненное поведение человека мало чем отличается от поведения ядра «электрона».

Не зная и не вникая в сложнейшие многоуровневые спиральные алгоритмы «Развития», человеческий рассудок научился изучать внешнее «хаотическое» поведение объектов статистическими методами. Различные способы усреднения позволили выявлять основные тенденции движения объекта и его взаимоотношений с окружающей реальностью.

В теории вероятности доказывается (см. [22]), что если объект находится под влиянием даже всего десяти примерно равнозначных по величине, но не связанных между собой детерминированных силовых воздействий, то поведение такого объекта можно считать хаотичным, и его усредненное состояние поддается описанию методами теории вероятности.

Из условия топологического «разрыва» вакуумной протяженности (см. п.1.7.12 в [8]) вытекает, что различные вакуумные слои на границе такого «разрыва» должны двигаться со скоростью близкой к скорости света (что и было показано в п. 2.3.5).

Условие топологического «разрыва» вакуума объясняет, почему периферия ядра всех «электронов» вращается с одной и той же предельно возможной скоростью (2.3.132), и отчасти объясняет, почему усредненные размеры ядер «электронов» одинаковы ($r_e \approx 2,81 \cdot 10^{-13}$ см).

Постоянные хаотические изменения формы и места положения центра инерции ядра «электрона» приводит к тому, что оно вращается не как обычный шарик. Его ось вращения постоянно смещается по хаотической траектории (см. рис. 2.3.8). Поэтому *спин* этого шарообразного вакуумного образования можно описать только статистическими методами.

Если ядро изначально начало вращаться вокруг своей оси по часовой стрелке, то так это и будет продолжаться до самого конца его существования (это левые «электроны»). И наоборот, изначально вращение ядра против часовой стрелки относительно этой же оси так и будет продолжаться вечно, если за всю его долгую жизнь с ним не происходит ничего экстраординарного – это правые «электроны» (*также человек правша или левша на всю земную жизнь*).

Изначально нам неизвестно, в какую сторону вращается ядро «электрона», но известно, что таких возможностей всего две. Поэтому вероятность любого из этих направлений вращения равна $\frac{1}{2}$. Данная двойственность и определяет свойства всех «фермионов», в отличие от «бозонов», у которых такой двойственности нет.

Из-за хаотической прецессии самой оси вращения для любого наперед заданного направления мгновенная ось вращения часть времени совпадает с этим направлением, а другая равная ей часть противоположна этому направлению, поэтому у ядра свободного покоящегося «электрона» собственный момент импульса для любого направления в среднем равен

$$\langle 1/2 + (-1/2) \rangle / 2 = 0. \quad (2.3.151)$$

Пусть вращение ядра «электрона» по часовой стрелке формально задается спинором

$$|Z+\rangle = \sqrt{\frac{1}{2}} \begin{pmatrix} 1 \\ 0 \end{pmatrix} \quad \text{и} \quad \langle Z+| = \sqrt{\frac{1}{2}} (1 \ 0), \quad (2.3.152)$$

а его вращение против часовой стрелки – спинором

$$|Z-\rangle = \sqrt{\frac{1}{2}} \begin{pmatrix} 0 \\ 1 \end{pmatrix} \quad \text{и} \quad \langle Z-| = \sqrt{\frac{1}{2}} (0 \ 1). \quad (2.3.153)$$

Пусть спинорные свойства протяженности субконтра ядра «электрона», в частном случае определяются спинтензором

$$\begin{pmatrix} I & H \\ H' & V \end{pmatrix} = \begin{pmatrix} \sqrt{1 + \frac{r^2}{r_e^2}} + r \sin \theta & \frac{1}{\sqrt{1 + \frac{r^2}{r_e^2}}} + ir \\ \frac{1}{\sqrt{1 + \frac{r^2}{r_e^2}}} - ir & \sqrt{1 + \frac{r^2}{r_e^2}} - r \sin \theta \end{pmatrix} =$$

$$\overset{H'}{\begin{pmatrix} \sqrt{1 + \frac{r^2}{r_e^2}} & 0 \\ 0 & \sqrt{1 + \frac{r^2}{r_e^2}} \end{pmatrix}} + \overset{V}{\begin{pmatrix} 0 & \frac{1}{\sqrt{1 + \frac{r^2}{r_e^2}}} \\ \frac{1}{\sqrt{1 + \frac{r^2}{r_e^2}}} & 0 \end{pmatrix}} + \overset{H}{\begin{pmatrix} 0 & ir \\ -ir & 0 \end{pmatrix}} + \overset{I}{\begin{pmatrix} r \sin \theta & 0 \\ 0 & -r \sin \theta \end{pmatrix}}, \quad (2.3.154)$$

детерминант которого сводится к метрике (2.3.109) (см. пп. 1.4.3- 1.4.4 [8]).

Спинорные свойства антисубконта в частном случае определяются спинтензором

$$\begin{aligned} \begin{pmatrix} V & H' \\ H & I \end{pmatrix} &= \begin{pmatrix} \sqrt{1 - \frac{r^2}{r_e^2}} + r \sin \theta & r + \frac{i}{\sqrt{1 - \frac{r^2}{r_e^2}}} \\ r - \frac{i}{\sqrt{1 - \frac{r^2}{r_e^2}}} & \sqrt{1 - \frac{r^2}{r_e^2}} - r \sin \theta \end{pmatrix} = \\ &= \begin{pmatrix} \sqrt{1 - \frac{r^2}{r_e^2}} & 0 \\ 0 & \sqrt{1 - \frac{r^2}{r_e^2}} \end{pmatrix} + \begin{pmatrix} 0 & \frac{i}{\sqrt{1 - \frac{r^2}{r_e^2}}} \\ -\frac{i}{\sqrt{1 - \frac{r^2}{r_e^2}}} & 0 \end{pmatrix} + \begin{pmatrix} 0 & r \\ r & 0 \end{pmatrix} + \begin{pmatrix} r \sin \theta & 0 \\ 0 & -r \sin \theta \end{pmatrix}, \quad (2.3.155) \end{aligned}$$

детерминант которого сводится к метрике (2.3.110).

В этом случае вращение внутриядерного субконта описывается конструкцией вида

$$\frac{1}{2} \begin{pmatrix} 1 & 0 \\ 0 & 1 \end{pmatrix} \begin{pmatrix} \sqrt{1 + \frac{r^2}{r_e^2}} + r \sin \theta & \frac{1}{\sqrt{1 + \frac{r^2}{r_e^2}}} + ir \\ \frac{1}{\sqrt{1 + \frac{r^2}{r_e^2}}} - ir & \sqrt{1 + \frac{r^2}{r_e^2}} - r \sin \theta \end{pmatrix} \begin{pmatrix} 1 \\ 0 \end{pmatrix}. \quad (2.3.156)$$

При этом усредненные проекции мгновенного вектора спина внутриядерного субконта на оси координат равны

$$\langle s_r \rangle_s = \frac{1}{2} (1 \ 0) \begin{pmatrix} 0 & \frac{1}{\sqrt{1 + \frac{r^2}{r_e^2}}} \\ \frac{1}{\sqrt{1 + \frac{r^2}{r_e^2}}} & 0 \end{pmatrix} \begin{pmatrix} 1 \\ 0 \end{pmatrix} = 0, \quad (2.3.157)$$

$$\langle s_\theta \rangle_s = \frac{1}{2} (1 \ 0) \begin{pmatrix} 0 & ir \\ -ir & 0 \end{pmatrix} \begin{pmatrix} 1 \\ 0 \end{pmatrix} = 0, \quad (2.3.158)$$

$$\langle s_\varphi \rangle_s = \frac{1}{2} (1 \ 0) \begin{pmatrix} r \sin \theta & 0 \\ 0 & -r \sin \theta \end{pmatrix} \begin{pmatrix} 1 \\ 0 \end{pmatrix} = \frac{1}{2} r \sin \theta. \quad (2.3.159)$$

Вращение внутриядерного антисубконта вокруг той же мгновенно зафиксированной оси вращения описывается конструкцией вида

$$\frac{1}{2} (0 \ 1) \begin{pmatrix} \sqrt{1 - \frac{r^2}{r_e^2}} + r \sin \theta & r + \frac{i}{\sqrt{1 - \frac{r^2}{r_e^2}}} \\ r - \frac{i}{\sqrt{1 - \frac{r^2}{r_e^2}}} & \sqrt{1 - \frac{r^2}{r_e^2}} - r \sin \theta \end{pmatrix} \begin{pmatrix} 0 \\ 1 \end{pmatrix}. \quad (2.3.160)$$

При этом усредненные проекции вектора спина антисубконта внутри ядра «электрона» равны

$$\langle s_r \rangle_{as} = \frac{1}{2} (0 \ 1) \begin{pmatrix} 0 & \frac{i}{\sqrt{1 - \frac{r^2}{r_e^2}}} \\ -\frac{i}{\sqrt{1 - \frac{r^2}{r_e^2}}} & 0 \end{pmatrix} \begin{pmatrix} 0 \\ 1 \end{pmatrix} = 0,$$

$$\langle s_\theta \rangle_{as} = \frac{1}{2} (0 \ 1) \begin{pmatrix} 0 & r \\ r & 0 \end{pmatrix} \begin{pmatrix} 0 \\ 1 \end{pmatrix} = 0,$$

$$\langle s_\varphi \rangle_{as} = \frac{1}{2} (0 \ 1) \begin{pmatrix} r \sin \theta & 0 \\ 0 & -r \sin \theta \end{pmatrix} \begin{pmatrix} 0 \\ 1 \end{pmatrix} = -\frac{1}{2} r \sin \theta. \quad (2.3.161)$$

Из выражений (2.3.159) и (2.3.161) видно, что рассматриваемый аспект вращения субконта и антисубконта в ядре «электрона» возрастает по мере увеличения $r \in [0, r_e]$.

Среднее вращение ядра «электрона», как целостного субконт - антисубконтного образования вокруг мгновенно зафиксированной оси равно нулю

$$\langle s_\varphi \rangle_{as} = \frac{1}{2} (\langle s_\varphi \rangle_s + \langle s_\varphi \rangle_{as}) = \frac{1}{2} \left(\frac{1}{2} r \sin \theta - \frac{1}{2} r \sin \theta \right) = 0. \quad (2.3.162)$$

Здесь затронут только один из множества аспектов, связанных с вращательными процессами внутри ядра «электрона». Внутрядерное *субконт-антисубконтное* «переплетение» – это чрезвычайно сложное и потрясающе красивое явление, которому следует посвятить отдельное объемное исследование.



<http://web-style.nnm.ru/>

Скорее всего, в ядре «электрона» образуется не одна спиральная «спица», как это показано на рис. 2.3.8, а несколько (см. рис. 2.3.9а).

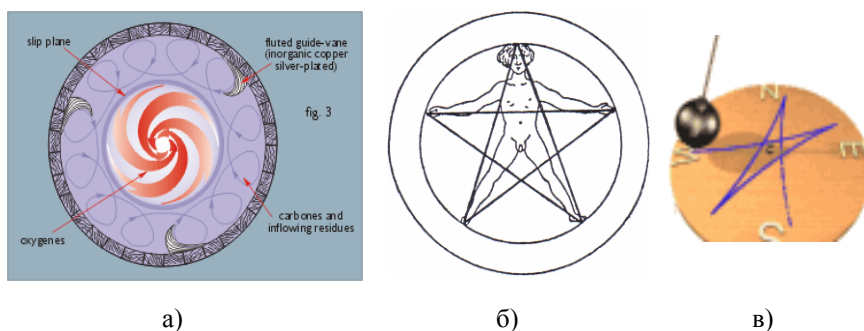


Рис. 2.3.9. а) Спиральные «спицы» внутри ядра «электрона»;
 б) контуры тела человека, вписанные в круг;
 в) траекторией движения отклоненного маятника Фуко является звезда Соломона

Спиральные субконт-антисубконтные токи внутри ядра «электрона» закручиваются и переплетаются друг с другом таким образом, чтобы в этой «утробе» постепенно развивался эмбрион подобный телу человеческого детеныша (см. рис. 2.3.9 б).

Это подобно тому, как маятник Фуко при его отклонении от положения равновесия самопроизвольно двигается по траектории, напоминающей пятиконечную звезду Соломона (см. рис. 2.3.9в).

Этапы развития внутриутробного пятиконечного эмбриона согласованы со спиральным алгоритмом раскрытия Звучания непроизносимого Имени ТВОРЦА. Каждый оборот ядра «электрона» – это века его внутреннего развития.



МAGEN ШЛОМО
 (щит Соломона)



<http://wiccanin.narod.ru/>

Напряжение

Каждый седьмой оборот ядра «электрона» вокруг его оси – Суббота.

«И было Слово ГОСПОДНЕЕ к Иеремии: так Говорит ГОСПОДЬ: если можете разрушить Завет МОЙ о дне и Завет МОЙ о ночи, чтобы день и ночь не приходили в свое время, то может быть разрушен и Завет МОЙ с рабом МОИМ Давидом, так что не будет у него сына, царствующего на престоле его, и также с левитами – священниками, служителями МОИМИ... Если Завета о дне и ночи и уставов неба и земли Я не Утвердил, то племя Иакова и Давида, раба МОЕГО, отвергну, чтобы не брать более владык из его племени для племени Авраама, Ицхака и Иакова; ибо Возвращу плен их и Помилую их» (Иеремия, 33 : 19-21, 25-26).

Через изучение спина (т. е. сложнейшего, переменчивого вращения) ядра «электрона» мы многое поймем о переплетении и взаимном влиянии Имен Творящей ОСНОВЫ Бытия.

Звезда Соломона, показанная на рис. 2.3.9б, может быть получена кинематическим способом. Если малая окружность с радиусом r катится по внутренней стороне большой неподвижной окружности с радиусом R , то любая точка малой окружности движется по некой циклоидальной кривой. Семейство таких эпициклоид описывается параметрическим уравнением [55]

$$x(t) = (R+mR)\cos mt - mR \cos(t+mt),$$

$$y(t) = (R+mR)\sin mt - mR \sin(t+mt), \quad (2.3.163)$$

где $m = r/R$. При $m = 2/5$ получается эпициклоида, показанная на рис. 2.3.10.

Представим параметрическое уравнение (2.3.163) в виде полярной функции

$$\rho(t) = \sqrt{x(t)^2 + y(t)^2} \sin \left(\frac{y(t)}{\sqrt{x(t)^2 + y(t)^2}} \right), \quad (2.3.164)$$

где $x(t)$ и $y(t)$ задаются выражениями вида (2.3.163). В этом случае при $m = r/R = 5$ получается бинарно-пятиконечная кривая, показанная на рис. 2.3.11.

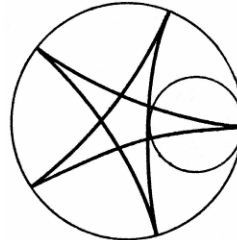


Рис. 2.3.10. Эпициклоида описываемая параметрическим уравнением (2.3.163) при $m = r/R = 2/5$

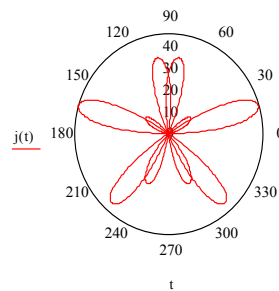
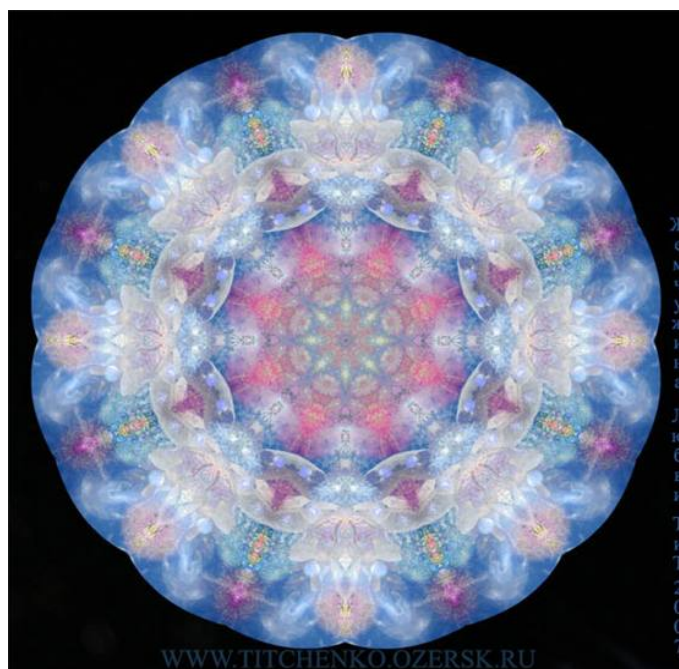


Рис. 2.3.11. График полярной функции (2.3.164) при $m = r/R = 5$



www.titchenko.ozersk.ru



www.titchenko.ozersk.ru

Бесконечность глубины ядра «электрона»